



Vlaanderen
is omgeving

De invloed van magnetische velden afkomstig van elektriciteitstransport op fauna en flora



De invloed van magnetische velden afkomstig van elektriciteitstransport op fauna en flora

Dit rapport heeft als doel om wetenschappelijke studies te inventariseren en te interpreteren, die gaan over de mogelijke effecten van extreem lage frequentie (ELF) magnetische velden (MF) op fauna en flora. De magnetische velden zijn afkomstig van het transport en de distributie van elektriciteit. Hiervoor werden in detail meer dan 250 studies over gewervelde dieren, planten en insecten gereviewd op studiekwaliteit en inhoud. De globale conclusie is dat verschillende species in staat zijn om magnetische velden en veranderingen van magnetische velden aan te voelen (magnetoreceptie). Er is echter voor de meeste van de bestudeerde eigenschappen geen consensus te vinden of antropogene straling met een frequentie van 50 Hz (of 60 Hz), zoals deze afkomstig van hoogspanningslijnen, al dan niet gevolgen heeft voor de gezondheid. Het verder opvolgen van onderzoek is daarom aanbevolen.

Dit rapport bevat de mening van externe auteur(s) en niet noodzakelijk die van de Vlaamse overheid.

COLOFON

Verantwoordelijke uitgever

Peter Cabus
Departement Omgeving
Koning Albert II-laan 20 bus 8, 1000 Brussel
www.omgevingvlaanderen.be

Een uitgave van het Departement Omgeving, Vlaams Planbureau voor Omgeving
vpo.omgeving@vlaanderen.be

Auteurs

Joos Latré – HOGENT-UGent Proefhoeve Bottelare
Sofie Landschoot – HOGENT-UGent Proefhoeve Bottelare
Valérie Claeys – HOGENT-UGent Proefhoeve Bottelare
Geert Haesaert – HOGENT-UGent Proefhoeve Bottelare

Publicatiedatum

09/05/2023

Depotnummer

D/2023/3241/168

Wijze van citeren

Latré J., Landschoot S., Claeys V. & Haesaert, G. (2023). *De invloed van magnetische velden afkomstig van elektriciteitstransport op fauna en flora. Studie in opdracht van het Departement Omgeving.*

PARTNERS

**HO
GENT**



INHOUDSTAFEL

1	Doel	4
2	Inleiding	4
3	Materiaal en methoden	5
3.1	Literatuuronderzoek	5
3.2	Selectie van de studies	5
3.3	Beoordeling van de kwaliteit van de studies	5
4	Resultaten literatuur screening.....	6
4.1	Hoe interageren species met elektromagnetische velden (EMF)?	6
4.1.1	Magnetiet gebaseerde mechanisme	7
4.1.2	Radicaalpaarreceptor	7
4.1.3	Inductiemechanisme	8
4.2	Effect op vertebraten	9
4.2.1	Studies met artificiële bestraling	9
4.2.2	Studies onder hoogspanningslijn	23
4.3	Effect op planten	29
4.3.1	Studies met artificiële bestraling	29
4.3.2	Studies onder hoogspanningslijn	30
4.4	Effect op insecten	31
4.4.1	Studies met artificiële bestraling	32
4.4.2	Studies onder hoogspanningslijn	35
5	Topic modelling	37
6	Besluit	40
6.1	Kwaliteit van de studies	40
6.2	Aanbevelingen	40
6.2.1	Vertebraten	40
6.2.2	Planten	41
6.2.3	Insecten	41
6.3	Effect van ELF-EMF op fauna en flora	41
	Referenties.....	42
	Appendix	50



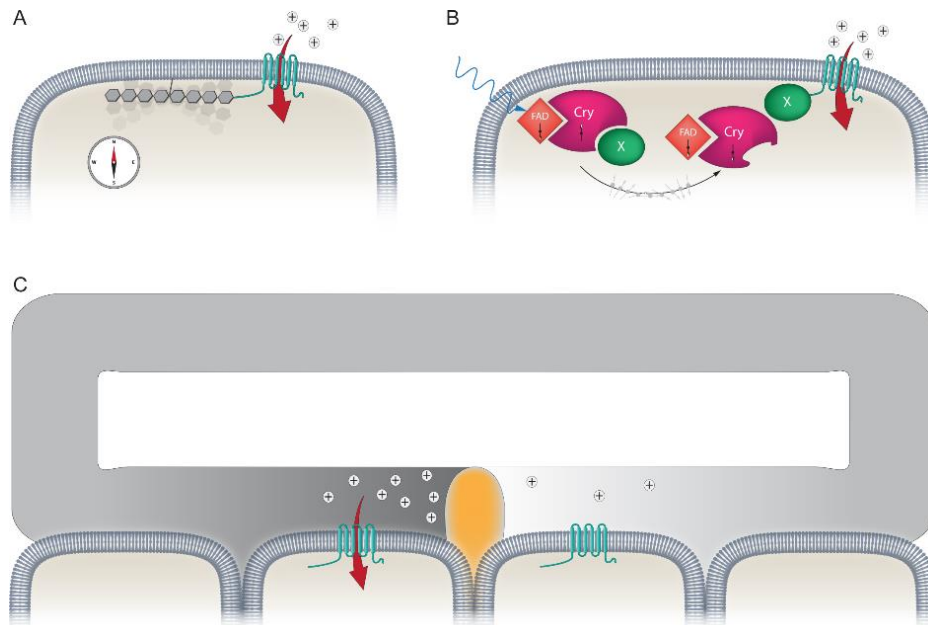
Uit deze evaluatie bleek dat voor criteria 1 en 3 de studies goed tot zeer goed scoorden, wat erop wijst dat de resultaten van de studies betrouwbaar zijn. Voor criterium 2, de methodes om blootstelling te meten, werd voor sommige studies de categorie “slecht” toegekend. Dit waren studies waarbij effecten van het EMF afkomstig van hoogspanningslijnen op fauna en flora bestudeerd werden, maar waarbij vb. enkel de afstand tot de lijn wordt gegeven en niet de effectieve blootstelling. Hoewel de studies steeds werden opgezet in herhalingen werden deze vaak niet onafhankelijk opnieuw herhaald. Echter gezien de conclusies in dit rapport gebaseerd zijn op verschillende onafhankelijk publicaties is het feit dat voor sommige studies geen herhaalexperimenten werden uitgevoerd geen probleem.

Hieronder worden de meeste studies die werden weerhouden meer in detail besproken. De studies die het effect van het ELF-EMF op de kieming van plantenzaden bestuderen werden niet in detail besproken omdat de onderzoekers daar allemaal op één lijn zitten.

4 RESULTATEN LITERATUUR SCREENING

4.1 HOE INTERAGEREN SPECIES MET ELEKTROMAGNETISCHE VELDEN (EMF)?

Momenteel zijn er **drie** mogelijke mechanismen die aan de basis liggen voor magnetoreceptie nl. het magnetiet gebaseerde mechanisme, de radicaalpaarreceptor en het inductiemechanisme (Hore et al. 2016; Nordmann et al. 2017; Levitt et al. 2022) (**Figuur 2**). Sommige species maken gebruik van meerdere mechanismen tegelijk.



Figuur 2: Drie mogelijke mechanismen voor magnetoreceptie. (A) **Magnetiet gebaseerde mechanisme.** (B) **Radicaalpaarmechanisme.** (C) **Inductiemechanisme.** <https://doi.org/10.1371/journal.pbio.2003234.g002>.

4.1.1 Magnetiet gebaseerde mechanisme

Magnetiet is een half metallische ferromagneet. Magnetietkristallen (weergegeven als een ketting in **Figuur 2A**) zijn via een cytoskeletlinker aan het plasmamembraan bevestigd. Deze lineaire opstelling van kristallen met een enkel domein probeert zich te aligneren met het geomagnetische veld van de aarde (zoals een kompasnaald), en oefent daardoor een koppelkracht uit op een mechanisch gevoelig kanaal (weergegeven in groenblauw in **Figuur 2A**). Dit activeert tijdelijk het kanaal dat leidt tot kationinstroom (rode pijl in **Figuur 2A**) en membraandepolarisatie.

Bij vertebraten wordt magnetiet vooral teruggevonden ter hoogte van het ethmoïd (neusbijholten) (Wiltschko & Wiltschko, 2005). Ferromagnetisch materiaal werd reeds bij vele organismen teruggevonden (via de SQUID magnetometer, superconducting quantum interference device SQUID). Het meest bekende voorbeeld hiervan is de magnetotactische bacterie. Deze gebruikt intracellulair magnetiet, gerangschikt als kettingen voor magnetische oriëntatie (Uebe & Schuler, 2016).

Dit mechanisme werd beschreven bij onderstaande species (Levitt et al. 2022):

- Vogels
- Mieren
- Monarch vlinders
- Bijen wespen
- Amfibieën
- Vleermuizen
- Zoogdieren
- Planten

4.1.2 Radicaalpaarreceptor

Dit mechanisme berust op de vorming van radicaalparen, i.e. de vorming van een paar moleculen met ongepaarde elektronen. Dit zijn zeer reactieve moleculen en hun aanwezigheid leidt snel tot een verdere reactie met vorming van radicaalpaarproducten. Onder bepaalde omstandigheden kan het magnetisch veld de snelheid of uitkomsten van deze reacties beïnvloeden. Voor magnetoreceptie is het cruciaal dat het radicaalpaar wordt gevormd in een spin geassocieerde singlet of triplet staat.

Blauw licht (weergegeven met een blauwe pijl in **Figuur 2B**) induceert de vorming van langlevende radicaalparen tussen cryptochroom en de cofactor flavine-adenine-dinucleotide (FAD). De spintoestand van deze elektronen verandert tussen een antiparallele ($\uparrow\downarrow$) of parallelle ($\downarrow\downarrow$) toestand, afhankelijk van de lokale magnetische omgeving. Dit beïnvloedt op zijn beurt de biochemische of structurele eigenschappen van het cryptochroom, wat resulteert in de activering van een onbekende signaalmolecuul (X) dat de permeabiliteit van ionenkanalen moduleert.

Voor dit type van magnetoreceptie is ook een intacte opticus en retina (netvlies) nodig. Een fotopigment dat aan deze eigenschappen zou voldoen is het bovengenoemde cryptochroom dat bij vele dieren in de retina aanwezig is en een rol speelt in het circadiaans ritme en blauw licht absorbeert. Theoretische en experimentele studies over de modulatie van radicaalpaarreacties door het magnetisch veld van minder dan 100 μT tonen aan dat het radicaalpaarmechanisme gevoelig genoeg is om een primair sensorisch systeem te vormen voor het geomagnetisch veld. Cryptochroom eiwitten komen ook voor bij planten. Cryptochromen absorberen ultraviolet licht, dichtbij UV-licht en/of een deel van het zichtbare spectrum van blauw licht. Ze wijzigen de groei in de plant volgens de verlichting en de fotoperiode.

Dit mechanisme werd beschreven bij onderstaande species (Hore et al. 2016; Levitt et al. 2022):

- Vogels
- Knaagdieren
- Bijen/insecten
- Planten

4.1.3 Inductiemechanisme

Het inductiemechanisme is gebaseerd op de wet van Faraday. Een organisme detecteert een zwak elektrisch veld gegenereerd door zijn beweging door een magnetisch veld. Hierbij worden magnetische prikkels omgezet in elektrische informatie door een “hulpstructuur”, afgebeeld als een halfmond kanaal van een gewervelde, gevuld met kationrijke endolymfe, en sensorische cellen aan weerszijden van de cupula (haarcellen evenwichtsorgaan, getoond in oranje) (**Figuur 2C**). Als het dier zo beweegt dat rotatie plaatsvindt rond een as in het vlak van een halfcirkelvormig kanaal, zal er geen verplaatsing van de endolymfe zijn, maar kan er elektromagnetische inductie optreden. Afhankelijk van de intensiteit en oriëntatie van het externe magnetische veld, zal dit een elektromotorische kracht opwekken in de geleidende endolymfe. Dit resulteert in de scheiding van ladingen binnen het circuit, waardoor kationinstroom wordt veroorzaakt door zeer gevoelige spanningsafhankelijke ionenkanalen (weergegeven in groenblauw). Dit principe, gekend als elektromagnetische inductie, wordt gebruikt om magnetoreceptie bij kraakbeenvissen (haaien en roggen) uit te leggen. Bij kraakbeenvissen functioneren de ampullae van Lorenzini als geleidende staaf en het omgevende zoute water als stilstaand sterk geleidend medium.

Dit mechanisme werd beschreven bij onderstaand species (Levitt et al. 2022):

- Kraakbeenvissen

Conclusie

Er zijn **drie basismechanismen** beschreven waarmee species in staat zouden zijn om **magnetische velden te detecteren**. Potentieel kan een verstoring van het aardmagnetisch veld, door antropogene straling van vb. hoogspanningslijnen, dus een **invloed** hebben op de **biologie** van verschillende species. Of de invloed van antropogene straling al dan niet schadelijk is hangt uiteraard af van de mate waarin deze species gebruik maken van magnetoreceptie en de mate waarin een fysiologische respons (vb. verandering in motoriek, in hormoonstoestand) wordt uitgelokt. Dit zal in onderstaande secties meer in detail bestudeerd worden.

Prenatale blootstelling van drachtige ratten aan magnetische velden van 30000 μT had geen significant effect op de foetale sterfte, foetaal lichaamsgewicht en grote skeletafwijkingen van de foetussen. Het aantal levend geboren foetussen was significant lager in de groep die blootgesteld werd aan statische- en magnetische velden. De incidentie van foetussen met kleine skeletafwijkingen was wel significant hoger in de groep die blootgesteld werd aan een 50 Hz wisselend magnetisch veld. **Conclusie: Deze studie toonde aan dat blootstelling aan een 50 Hz magnetisch veld geen ernstige voortplantingsgevolgen veroorzaakte, maar er was wel een effect op skeletafwijkingen bij de foetussen. De dieren werden niet verder opgevolgd, dus het is niet geweten of er blijvende schade is. Er werd een klein aantal ratten blootgesteld aan magnetische velden die niet vergelijkbaar zijn met deze onder een hoogspanningslijn.**

Elbetieha et al. (2002) onderzochten het effect van langdurige blootstelling van mannelijke en vrouwelijke Zwitserse muizen aan een magnetisch veld van 50 Hz op de vruchtbaarheid. Volwassen mannelijke (15 controle en 15 blootgesteld) en vrouwelijke muizen (30 controle en 30 blootgesteld) werden, voor ze werden gepaard met niet-blootgestelde muizen, gedurende 90 dagen blootgesteld aan een magnetisch veld van 25 μT bij 50 Hz. Blootstelling van mannelijke en vrouwelijke muizen aan een magnetisch veld van 50 Hz had geen invloed op de vruchtbaarheid. Verder werden bij de vrouwelijke muizen die bevrucht werden door blootgestelde mannelijke muizen geen significante verschillen waargenomen wat betreft het aantal implantatieplaatsen, het aantal levend geboren foetussen en het totaal aantal resorpties. Het gewicht van de testes en het lichaamsgewicht bij blootgestelde mannelijke muizen en het lichaamsgewicht en baarmoedergewicht bij blootgestelde vrouwelijke muizen waren niet significant verschillend. Het gewicht van de eierstokken was bij de blootgestelde vrouwelijke muizen wel significant hoger. **Conclusie: Deze studie toonde aan dat het magnetisch veld geen effect had op de vruchtbaarheid van de muizen. Wat betreft de stijging van het gewicht van de eierstokken was er geen directe verklaring, daarvoor is verder histologisch onderzoek nodig. De muizen werd langdurig blootgesteld aan een magnetisch veld dat iets hoger was dan deze onder een hoogspanningslijn. Er werd wel een relatief klein aantal muizen onderzocht.**

Qi et al. (2015) onderzochten het effect van laagfrequente elektromagnetische velden op de vruchtbaarheid en tumorontwikkeling bij muizen (C57BL/6 muizen). 10 drachtige muizen werden gedurende 1 week (12 uur per dag) blootgesteld aan een magnetisch veld van 50 μT bij 50 Hz. 42 vrouwelijke en 24 mannelijke muizen die daaruit voortkwamen werden verder tot 15.5 maanden blootgesteld aan elektromagnetische velden. 10 drachtige muizen werden niet blootgesteld en dienden als controlegroep. Uit deze groep zijn 32 vrouwelijke en 30 mannelijke muizen voortgekomen. Deze werden niet blootgesteld gedurende dezelfde periode. Blootstelling aan ELF-MF van vrouwelijke en mannelijke muizen resulteerde in een significant lager gemiddeld lichaamsgewicht. De grootte van de *tubuli seminiferi* was significant kleiner in de blootgestelde groepen. Verder was bij de vrouwelijke muizen de incidentie van chronische myeloïde leukemie significant hoger dan in de controlegroep. Er was geen verhoogde incidentie van lever- en longtumoren bij de blootgestelde muizen. **Conclusie: Uit de resultaten van deze studie bleek het 50 Hz MF een risicofactor te zijn voor verminderde vruchtbaarheid en het voorkomen van leukemie. Echter is er verder onderzoek nodig naar welke moleculaire veranderingen deze straling in de weefsels veroorzaakt om de oorzaak van dit effect te kunnen verklaren. Er werd een groter aantal muizen blootgesteld aan EMF en de blootstellingsduur was voldoende lang. De magnetische veldsterkte was wel iets hoger dan deze onder een hoogspanningslijn.**

Lee et al. (2004) evalueerden de effecten van blootstelling aan 60 Hz elektromagnetische velden op de testiculaire apoptose van de kiemcellen bij muizen (BALB/c muizen).

15 muizen (7 weken oud) werden verdeeld in 3 groepen van 5 dieren. Twee experimentele groepen werden gedurende 8 weken continu blootgesteld aan een 60 Hz magnetisch veld van 100 μ T en 500 μ T. Elke groep van 5 muizen werd in een kooi in een belichtingskamer geplaatst.

Blootstelling aan ELF-MF van mannelijke muizen resulteerde in een verhoogde incidentie van kiemcelapoptose in de testes. Er werden geen significante verschillen waargenomen tussen de blootgestelde en niet-blootgestelde groepen wat betreft het lichaamsgewicht en het gewicht van de testes van de muizen. Blootstelling aan ELF-MF leidde ook tot een afname van het aantal normale *tubuli seminiferi* bij toenemende intensiteit, dit door apoptose of celdood.

Conclusie: Deze studie toonde aan dat een continue blootstelling aan het 60 Hz EMF voor meer celdood bij de voortplantingscellen zorgt en een invloed kan hebben op de vruchtbaarheid. Let wel dat de blootstellingsniveaus (100 en 500 μ T) veel hoger zijn dan deze onder een hoogspanningslijn. Er werd ook een klein aantal muizen blootgesteld aan het EMF. De blootstellingsduur was wel voldoende lang.

Heredia-Rojas et al. (2003) onderzochten de effecten van blootstelling aan elektromagnetische velden van 2000 μ T bij 60 Hz op de mannelijke geslachtscellen bij muizen (CD-1(BALB/cxDBA2) muizen).

Er werden drie onafhankelijke experimenten uitgevoerd waarbij de mannelijke muizen telkens blootgesteld werden aan een 60 Hz magnetisch veld van 2000 μ T. Bij het eerste experiment werden de mannelijke muizen 72 uur blootgesteld en bij het tweede experiment werden de muizen gedurende 10 dagen 8 uur per dag blootgesteld. Bij het derde experiment werden de muizen ook 72 uur blootgesteld, maar ze werden ook nog behandeld met 5 mg/kg mitomycine-C (een celdodend middel, remt vb. kanker).

Er werden geen significante verschillen vastgesteld tussen de MF-blootgestelde mannelijke muizen en de niet-blootgestelde muizen wat betreft meiotische chromosoomafwijkingen in spermatocyten en spermamorfolgie.

Conclusie: Deze studie toonde aan dat, hoewel het MF van 2000 μ T hier zeer hoog was, er toch geen significant effect was op de voortplantingscellen. De magnetische veldsterkte is niet vergelijkbaar met deze onder een hoogspanningslijn en de blootstellingsduur was ook kort. Het aantal onderzochte muizen werd niet vermeld.

Duan et al. (2014) onderzochten de effecten van blootstelling aan elektromagnetische velden van 500 μ T bij 50 Hz op de spermatogenese bij ratten (SD ratten).

40 mannelijke ratten werden verdeeld in 4 groepen van 10 ratten. Twee groepen ratten werden blootgesteld aan 50 Hz elektromagnetische velden van 500 μ T in een kooi in een belichtingskamer. De eerste groep werd gedurende 4 weken en de tweede groep gedurende 8 weken 4 uur per dag blootgesteld aan elektromagnetische velden. De twee overige groepen ratten werden niet blootgesteld en dienen als controle. Verschillende biologische eindpunten met de betrekking tot de testiculaire functie en de spermatogenese werden bestudeerd. Zo werden o.a. de toename van lichaamsgewicht, de testes massa, de epididymis massa, veranderingen in het totaal aantal zaadcellen, abnormale spermaverhouding, serumtestosteronniveaus en testiculaire histologie geëvalueerd.

Er werden geen significante verschillen vastgesteld tussen de MF-blootgestelde mannelijke ratten en de niet-blootgestelde ratten wat betreft de biologische eindpunten die betrekking hebben tot de spermatogenese.

Conclusie: Deze studie toonde aan dat er geen significant effect was op de voortplantingscellen. De magnetische veldsterkte is niet vergelijkbaar met deze onder een hoogspanningslijn. Er werd ook een klein aantal muizen blootgesteld aan EMF maar de blootstellingsduur was wel voldoende lang.

de genetica van de kippen. De magnetische veldsterkte is vergelijkbaar met deze onder een hoogspanningslijn. Er werd ook een zeer groot aantal kippenembryo's onderzocht en het experiment werd gedurende vijf jaren uitgevoerd.

Lahijani & Ghafoori onderzochten het effect van elektromagnetische velden van 8007 tot 10143 μT bij 50 Hz op de ontwikkeling van kippenembryo's. In totaal werden 221 bevruchte eieren geïncubeerd en blootgesteld aan 24 verschillende EMF's gedurende 24 uur. Na 9 dagen werden de embryo's beoordeeld. Het percentage afwijkingen in de ontwikkeling van de embryo's was hoger bij de blootgestelde groepen in vergelijking met de niet-blootgestelde groepen. Het eigewicht was niet significant verschillend. Wat betreft lichaamsgewicht, lichaamslengte, lengte van de snavel, hart- en levergewicht werden enkel significante verschillen gevonden tussen de 8007, 8453 en 8713 μT blootgestelde groepen.

Conclusie: Deze studie toonde aan dat er een negatief effect was op het percentage afwijkingen en de ontwikkeling van de kippenembryo's. Er was geen effect op het eigewicht. Er dient wel opgemerkt te worden dat de sterkte van het magnetisch veld veel hoger is dan deze midden onder een hoogspanningsmast.

Sechman et al. (2006) bestudeerden de invloed van laagfrequente elektromagnetische velden op de veranderingen in schildklierhormonenspiegels en uitkomstparameters bij kippenembryo's. 160 broedeieren werden vanaf het begin van de incubatie tot de dag van uitkomen blootgesteld aan een magnetisch veld van 10 μT bij 50 Hz. Resultaten van deze studie toonden aan dat blootstelling aan EMF de activiteit van de schildklier bij kippenembryo's stimuleert. Verder werd ook geconcludeerd dat blootstelling aan EMF gepaard ging met een afname van kuikensterfte, sneller piepen en sneller uitkomen.

Conclusie: Deze studie toonde aan dat er een positief effect was op de concentratie van schildklierhormonen en de werking van de schildklier van kippenembryo's. Ook de uitkomstparameters werden positief beïnvloed. Het is namelijk bekend dat schildklierhormonen een cruciale rol spelen tijdens de embryogenese en een invloed hebben op het moment van uitkomen en de duur van incubatie. De magnetische veldsterkte is vergelijkbaar met deze onder een hoogspanningslijn. Ook de blootstellingsduur was voldoende lang en er werd een groot aantal broedeieren blootgesteld aan EMF.

Pawlak et al. (2013) onderzochten de invloed van zwak elektromagnetische velden op het hart, de concentratie van schildklierhormonen (T4 en T3) en het bloed aminotransferasegehalte bij kippenembryo's. Bij dit experiment werden 120 eieren verdeeld in 4 gelijke groepen. Bij de eerste groep eieren ontwikkelden de eieren zich in een standaard incubator (controle) van dag 1 tot 21. Bij de tweede groep ontwikkelden de eieren zich van dag 1 tot 21 in een incubator met een EMF generator die uitgeschakeld was. Bij de derde groep werden de eieren blootgesteld aan een magnetisch veld van 50 μT en een elektrisch veld van 0.173 kV/m bij 50 Hz en bij de vierde groep werden de eieren blootgesteld aan een magnetisch veld van 100 μT en een elektrisch veld van 0.180 kV/m bij 50 Hz. De embryo's in deze groepen werden blootgesteld aan een continu EMF van de eerste tot de laatste dag van incubatie. Uit deze studie kon geconcludeerd worden dat blootstelling aan EMF de hartslag versnelde, voornamelijk vanaf 17 dagen incubatie. Dit kon geassocieerd worden met de stijging van de plasma T4 en T3 concentraties gedurende het laatste stadium van de embryogenese. Verder werd aangetoond dat blootstelling aan EMF van 100 μT leidde tot een significante toename van het hartgewicht en een significante toename van de aminotransferase gehalten in het bloed van de kippenembryo's. Dit laatste heeft een direct negatief effect op de werking van de hartspier.

Conclusie: Deze studie geeft aan dat de stijging van de concentratie schildklierhormonen (tot op een bepaald niveau) gedurende het laatste stadium van de embryogenese als positief kan beschouwd

4.3.2 Studies onder hoogspanningslijn

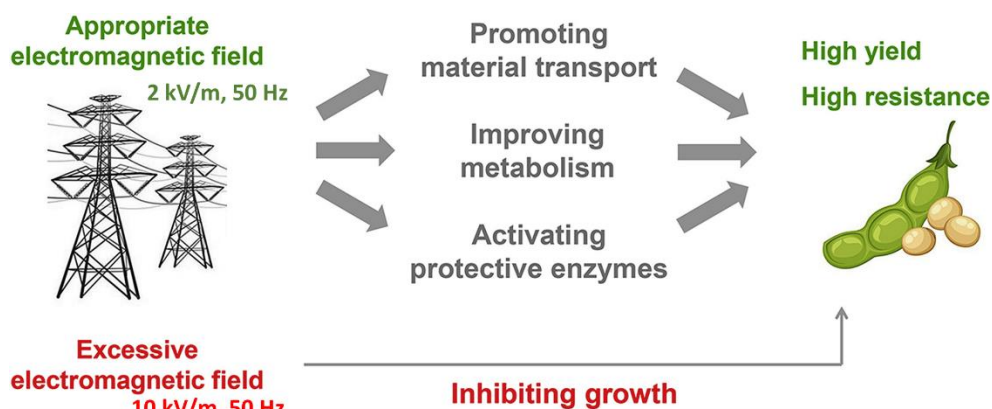
Soja et al. (2003) bestudeerden het effect van wintertarwe en maïs geteeld nabij (op 2, 8, 14 en 40 m afstand) een hoogspanningslijn (380 kV, EF: 0.2 – 0.4 kV/m, MF: 0.4 – 4.5 μ T) gedurende een periode van 5 jaar. Bij tarwe werd in elke plot (1.77 m²) geoogst en bij maïs ging het telkens over vijftien planten. Er werd geen significante en eenduidige invloed van de afstand tot de verbinding waargenomen. Bij maïs werden geen effecten waargenomen, maar bij tarwe vond men een lichte trend ($P < 0.10$) voor hogere opbrengst op een grotere afstand van de lijn, en dit bij droge jaren, tijdens natte jaren niet.

Conclusie: Deze studie toonde aan dat er geen effect was bij maïs. Er was een mogelijks licht negatief (maar niet significant bij $\alpha = 0.05$) effect bij tarwe, maar enkel bij bepaalde weersomstandigheden. Het effect van EMF van de hoogspanningslijn zelf werd gedurende 5 jaar onderzocht.

El-Khawas (2012) bestudeerde het effect van een hoogspanningslijn op maïs (Egypte). Er werden geen specificaties omtrent de veldsterkte vermeld, enkel de afstand tot de lijn: direct onder de lijn (hoge blootstelling), 250 m (matige blootstelling) en 500 m verder (controle, nagenoeg geen blootstelling). Op 250 m van de lijn werd de beste kieming, de beste vegetatieve groei en de hoogste opbrengst vastgesteld. Ook steeg het gehalte aan oplosbare suikers, stikstof en de inhoud aan fenolische componenten bij een matige blootstelling. Verder werd de kwaliteit en kwantiteit van de olie gestimuleerd bij een blootstelling op 250 m. Direct onder de lijn werd een hogere concentratie aan H₂O₂ en malondialdehyde gemeten (als maat voor membraanschade).

Conclusie: Deze studie toonde aan dat er direct onder de hoogspanningslijn een negatief effect was op de opbrengst en de kwaliteit van maïs. Op 250 m afstand van de hoogspanningslijn was er een positief effect t.o.v. geen invloed van het ELF-MF. Een minpunt van deze studie is dat de veldsterkte niet gemeten werd.

Li et al. (2019) bestudeerden het effect van een hoogspanningslijn op de groei van soja in China (frequentie 50 Hz, intensiteit van 0, 2 en 10 kV/m). Het kiemingspercentage steeg met de toenemende intensiteit. Wat betreft het aantal peulen en het drooggewicht van de planten waren er geen significante verschillen. Maar de opbrengst van de bonen was significant hoger bij een blootstelling aan 2 kV/m. Ook de totale hoeveelheid oplosbare suikers, eiwitgehalte en chlorofyl was het hoogst bij 2 kV/m. Verder bleken 2.977 genen te worden opgereguleerd en 1,462 genen te worden downgereguleerd bij blootstelling aan het EF. Dit wijst erop dat straling een bepaalde respons uitlokt. Maar welk effect (positief/negatief/neutraal) die op- en down regulatie teweegbrengt moet verder onderzocht worden.



Figuur 10: Grafisch abstract van de studie van Li et al. (2021).



Figuur 12: Niveau van de wetenschappelijke kennis op bestuivers en bestuiving, in het rode kader het effect van hoogspanningslijnen (Vanbergen et al. 2019). Betrouwbaarheid (confidence) wordt onderverdeeld in verschillende niveaus. **Well established** - uitgebreide meta-analyse of andere synthese of meerdere onafhankelijke onderzoeken die het eens zijn; **Established but incomplete** - algemene overeenstemming hoewel er slechts een beperkt aantal studies bestaat, maar geen alomvattende synthese en/of de studies behandelen de vraag onnauwkeurig; **Unresolved** - er bestaan meerdere onafhankelijke onderzoeken, maar de conclusies komen niet overeen; **Inconclusive** - beperkt onderzoek en grote kennislacunes.

4.4.1 Studies met artificiële bestraling

Shepherd et al. (2018) bestudeerden het effect van het veld van ELF-MF van hoogspanningslijnen (50 Hz, 400 kV, 20 – 7000 μ T) op bijen, maar dan nagebootst in het labo. De bijen werden gedurende 1 min blootgesteld aan het EMF en dit gedurende 5 keer. Dit had als doel om een scenario waarbij de bijen de lijn passeren na het lokaliseren van een voedselbron te simuleren. Bij bijen blootgesteld aan elektromagnetische straling daalde de geheugensterkte. Hoe sterker het magnetisch veld, hoe sterker de daling. De vleugelslagfrequentie nam toe met de veldsterkte en het aantal succesvolle vluchten (waarbij pollen gevonden werden) daalde bij blootstelling aan 100 μ T.

Conclusie: Deze studie toonde aan dat een kortstondige blootstelling aan ELF-EMF negatieve gevolgen zou hebben op het vinden van voedsel. Echter lange-termijn studies zijn nodig om na te gaan of deze effecten blijvend zijn, hoe lang de “herstelperiode” is en om na te gaan of de insecten in staat zijn om zich aan te passen aan de veranderende veldsterkte. De bijen werden enerzijds blootgesteld aan een magnetisch veld van 20 μ T dat hoger is dan deze onder een hoogspanningslijn. Anderzijds werden de bijen blootgesteld aan magnetische velden van 100, 1000 en 7000 μ T die niet vergelijkbaar zijn met deze onder een hoogspanningslijn.

In een volgende studie van Shepherd et al (2019) werden bijen gedurende 17 uur blootgesteld aan een magnetische velden van 100 μ T en 1000 μ T. De effecten van veld-realistische ELF-MF op leer- en agressieniveaus bij bijen werden onderzocht. De resultaten van dit onderzoek tonen aan dat korte termijnblootstelling aan ELF-MF op niveaus die in bijenkorven onder hoogspanningslijnen kunnen aangetroffen worden de leerprestaties verminderde en de agressieniveaus verhoogde.

Conclusie: Ook hier werd een eerder negatief effect op het gedrag van bijen vastgesteld. Lange-termijn studies zijn nodig om deze stelling te bevestigen of te verwerpen. Er dient opgemerkt te worden dat de magnetische veldsterktes niet vergelijkbaar zijn met deze onder een hoogspanningslijn. Ook de blootstellingsduur was beperkt.

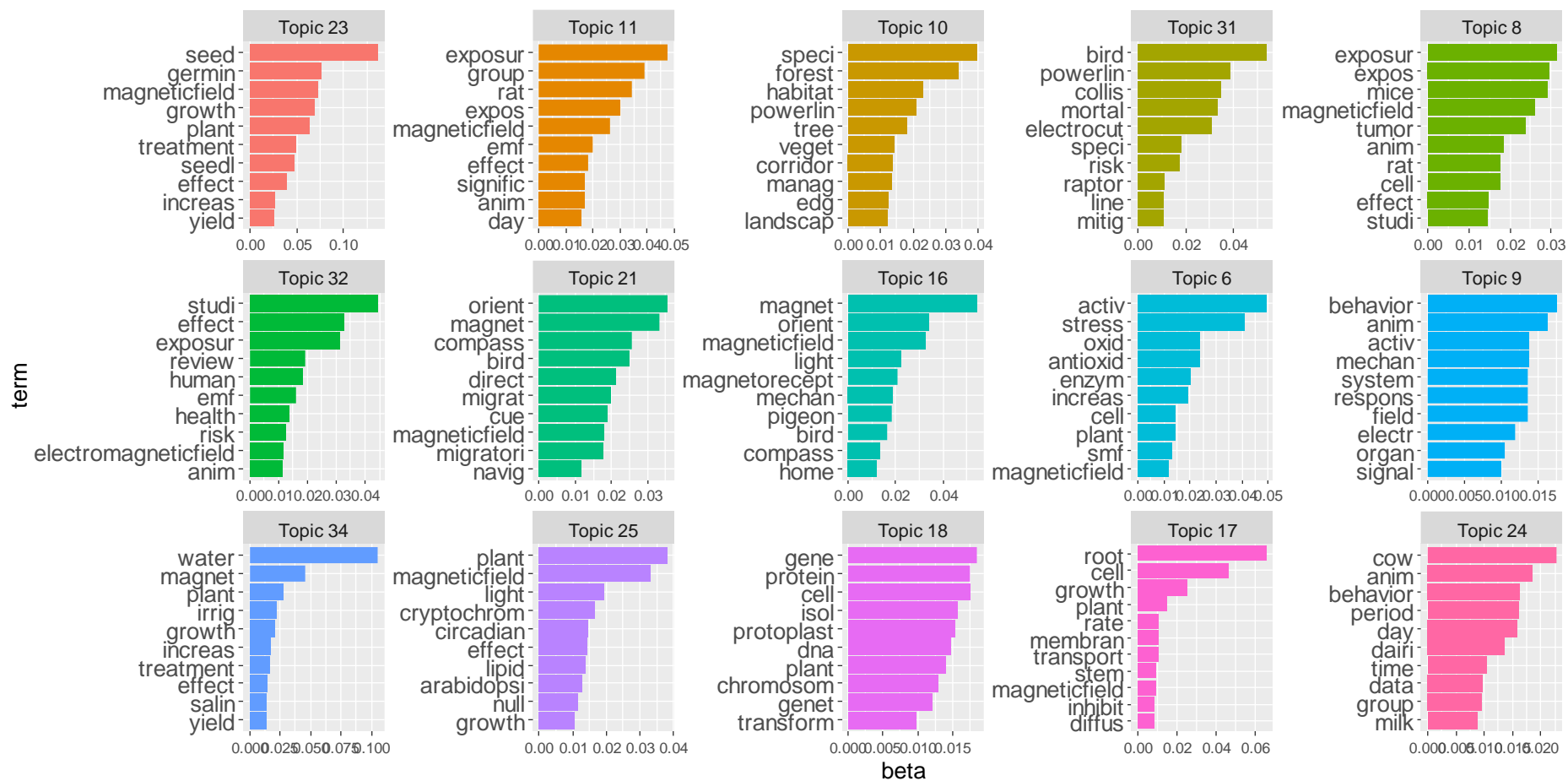
kwamen meer voor nabij masten in deze open plaatsen in het bos. Berg et al. (2016) bestudeerden ook de impact van hoogspanningsmasten in Zweden, zowel in bossen als in landbouwgebied. Ook hier was de diversiteit en het aantal het grootst nabij de masten. Du Clos et al. (2022) en Wagner et al. (2019) evalueerden het voorkomen en de soortenrijkdom van bijen nabij hoogspanningsmasten in de VS. Hieruit bleek ook dat de verscheidenheid aan species en het aantal species het hoogste was nabij hoogspanningsmasten wegens de grote diversiteit aan bloeiende planten. *Gezien in de gebieden waar de observaties gedaan werden sowieso ook straling aanwezig was, kan men zich afvragen of het positief effect door het creëren van open plekken in het bos / natuurlijke flora in landbouwgebieden een meer positief effect heeft dan de straling die vrijkomt?*

Hoewel deze studies onder hoogspanningslijnen zijn gebeurd, werd het EMF niet gemeten waardoor er geen info is over de effectieve blootstellingsniveaus (dus de kwaliteit van de studies voor dit beoogde doel is niet zeer goed). De frequentie van het magnetisch veld is ook niet gekend.

Conclusie

Net zoals vogels, zouden insecten potentieel vrij gevoelig zijn voor magnetische straling en zou antropogene magnetische straling door hoogspanningslijnen hun oriëntatie en gedrag **kunnen** verstoren. Echter werd recent ook aangetoond dat vb. bijen onder bepaalde omstandigheden andere signalen vb. kleurprioriteit hebben t.o.v. het magnetisch veld.

Wat betreft de invloed op de fysiologie, was de literatuur niet consistent en kan het effect zowel positief, neutraal of negatief zijn. Al lijkt de trend eerder naar negatief te gaan. Maar opnieuw moeten we opmerken dat de blootstelling onder labo-omstandigheden vaak hoger is dan onder hoogspanningslijnen en dat de blootstellingsduur kort is. Meer inzicht in mogelijke lange-termijn effecten en of de insecten kunnen gewennen aan blootstelling is nodig. Het wordt daarom aanbevolen om de studies op te volgen. Verder is het ook belangrijk om te vermelden dat er heel wat onderzoek gedaan wordt naar het effect van hoogspanningsmasten op de biodiversiteit. Hieruit blijkt dat deze steeds een indirect positief effect hebben op de diversiteit en aantal insecten. Hoogspanningsmasten creëren immers open plekken in het bos waar lage vegetatie een kans krijgt en onbewerkte plekken in de akker waar onkruiden, die insecten aantrekken, kunnen groeien. Hoewel deze studies eerder focussen op de fysieke effecten van masten, is er onvermijdelijk ook straling aanwezig. *Hypothese: Misschien zijn positieve effecten van de mast op de biodiversiteit wel groter dan de niet-bewezen negatieve effecten van de straling?*



Figuur 19: Resultaat van de topic modelling.



Yasui M., Kikuchi T., Ogawa M., Otaka Y., Tsuchitani M. and Iwata H. (1997). Carcinogenicity test of 50 Hz sinusoidal magnetic fields in rats. *Bioelectromagnetics*, 18, 531-540. ([https://doi.org/10.1002/\(SICI\)1521-186X\(1997\)18:8<531::AID-BEM1>3.0.CO;2-3](https://doi.org/10.1002/(SICI)1521-186X(1997)18:8<531::AID-BEM1>3.0.CO;2-3)).

Zhang Z-Y., Zhang J., Yang C-J., Lian H-Y., Yu H., Huang X-M., et al. (2016) Coupling Mechanism of Electromagnetic Field and Thermal Stress on *Drosophila melanogaster*. *PLOS ONE*, 11(9), e0162675. (<https://doi.org/10.1371/journal.pone.0162675>).



Studie	Jaar	Diersoort	# dieren	Type bestraling	Spanning (kV)	EF (kV/m)	MF (µT)	Freq (Hz)	duur (dagen)	Journal
Ryan et al.	2000	Rat	20	Artificiële bestraling			200	60	14	Radiation Research
Ryan et al.	2000	Rat	20	Artificiële bestraling			200	180	14	Radiation Research
Ryan et al.	2000	Rat	20	Artificiële bestraling			200	60 + 180	14	Radiation Research
Chung et al.	2003	Rat	24	Artificiële bestraling			5	60	15	Bioelectromagnetics
Chung et al.	2003	Rat	24	Artificiële bestraling			83,3	60	15	Bioelectromagnetics
Chung et al.	2003	Rat	24	Artificiële bestraling			500	60	15	Bioelectromagnetics
Huuskonen et al.	1993	Rat	72	Artificiële bestraling			35,6	50	20	Bioelectromagnetics
Huuskonen et al.	1993	Rat	72	Artificiële bestraling			15	50	20	Bioelectromagnetics
Lee et al.	1993	Schaap	20	Hoogspanningslijn	500	6	4	60	244	Biology of Reproduction
Thompson et al.	1995	Schaap	20	Hoogspanningslijn	500	6	4	60	244	Journal of Animal Science
Hefeneider et al.	2001	Schaap	45	Hoogspanningslijn	500			60	824	Bioelectromagnetics
Mahmoud & Zimmerman	1983	Varken	30	Hoogspanningslijn	345		6	50-60		
Janac et al.	2012	Muis	4	Artificiële bestraling			500	50	7	International Journal Radiation Biology
Janac et al.	2012	Muis	4	Artificiële bestraling			250	50	7	International Journal Radiation Biology
Janac et al.	2012	Muis	4	Artificiële bestraling			100	50	7	International Journal Radiation Biology
Mevissen et al.	1994	Rat	24	Artificiële bestraling			30000	50	20	Teratology
Elbetieha et al.	2002	Muis	90	Artificiële bestraling			25	50	90	Bioelectromagnetics
Qi et al.	2015	Muis	20	Artificiële bestraling			50	50	7	Environ Health Prev Med
Lee et al.	2004	Muis	15	Artificiële bestraling			100	60	56	Asian J Androl
Lee et al.	2004	Muis	15	Artificiële bestraling			500	60	56	Asian J Androl
Lee et al.	2004	Muis	15	Artificiële bestraling			100	60	56	Asian J Androl
Lee et al.	2004	Muis	15	Artificiële bestraling			500	60	56	Asian J Androl
Heredia-Rojas	2004	Muis		Artificiële bestraling			2000	60	10	Bioelectromagnetics
Duan	2014	Rat	10	Artificiële bestraling			500	50	28	Bioelectromagnetics
Duan	2014	Rat	10	Artificiële bestraling			500	50	56	Bioelectromagnetics
Forgacs et al.	2004	Muis	20	Artificiële bestraling			100	50	14	TheScientificWorldJOURNAL
Forgacs et al.	2004	Muis	20	Artificiële bestraling			100	50	14	TheScientificWorldJOURNAL
Ebrahimi-Kalan et al.	2011	Muis		Artificiële bestraling			100	50	56	Iran. Biomed. J.
Tomás et al.	2012	Koolmees	163	Hoogspanningslijn	66		0,1	50		Environmental research
Tomás et al.	2012	Koolmees	163	Hoogspanningslijn	66		0,1	50		Environmental research
Huuskonen et al.	2000	Rat		Artificiële bestraling			130	50	3 tot 7	Reproductive Toxicology
Huuskonen et al.	2000	Rat		Artificiële bestraling			130	50	3 tot 7	Reproductive Toxicology
Huuskonen et al.	2000	Rat		Artificiële bestraling			130	50	3 tot 7	Reproductive Toxicology
Huuskonen et al.	2000	Rat		Artificiële bestraling			13	50	3 tot 7	Reproductive Toxicology
Huuskonen et al.	2000	Rat		Artificiële bestraling			13	50	3 tot 7	Reproductive Toxicology



Studie	Jaar	Diersoort	# dieren	Type bestraling	Spanning (kV)	EF (kV/m)	MF (µT)	Freq (Hz)	duur (dagen)	Journal
Chung et al.	2009	Muis	40	Artificiële bestraling			5	60	280	Bioelectromagnetics
Chung et al.	2009	Muis	40	Artificiële bestraling			83.3	60	280	Bioelectromagnetics
Chung et al.	2009	Muis	40	Artificiële bestraling			500	60	280	Bioelectromagnetics
Chung et al.	2008	Rat	20	Artificiële bestraling			5	60	196 of 266	Bioelectromagnetics
Chung et al.	2008	Rat	20	Artificiële bestraling			83.3	60	196 of 266	Bioelectromagnetics
Chung et al.	2008	Rat	20	Artificiële bestraling			500	60	196 of 266	Bioelectromagnetics
McLean et al.	2003	Muis		Artificiële bestraling			2000	60	364	Bioelectromagnetics
McLean et al.	1991	Muis	32	Artificiële bestraling			2000	60	147	Bioelectromagnetics
Anderson et al.	2001	Rat	72	Artificiële bestraling			1000	60	112	Bioelectromagnetics
Mandeville et al.	1997	Rat	50	Artificiële bestraling			2	60	728	The FASEB Journal
Mandeville et al.	1997	Rat	50	Artificiële bestraling			20	60	728	The FASEB Journal
Mandeville et al.	1997	Rat	50	Artificiële bestraling			200	60	728	The FASEB Journal
Mandeville et al.	1997	Rat	50	Artificiële bestraling			2000	60	728	The FASEB Journal
Yasui et al.	1998	Rat	48	Artificiële bestraling			500	50	728	Bioelectromagnetics
Yasui et al.	1998	Rat	48	Artificiële bestraling			5000	50	728	Bioelectromagnetics
Löscher & Mevissen	1995	Rat	36	Artificiële bestraling			0,3-1	50	91	Cancer Letters
Löscher & Mevissen	1995	Rat	99	Artificiële bestraling			10	50	91	Cancer Letters
Löscher & Mevissen	1995	Rat	99	Artificiële bestraling			50	50	91	Cancer Letters
Löscher & Mevissen	1995	Rat	99	Artificiële bestraling			100	50	91	Cancer Letters
Löscher et al.	1993	Rat	99	Artificiële bestraling			100	50	91	Cancer Letters
Bua et al.	2018	Rat	1000	Artificiële bestraling			2	50	levenslang	Environmental Research
Bua et al.	2018	Rat	1000	Artificiële bestraling			20	50	levenslang	Environmental Research
Bua et al.	2018	Rat	1000	Artificiële bestraling			10	50	levenslang	Environmental Research
Bua et al.	2018	Rat	1000	Artificiële bestraling			1000	50	levenslang	Environmental Research



Studie	Jaar	Plantensoort	Type bestraling	Spanning (kV)	EF (kV/m)	MF (μT)	Freq (Hz)	Afstand tot de lijn	Journal
Soja et al.	2003	Tarwe	Hoogspanningslijn	380	4	4,5	50	2	Bioelectromagnetics
Soja et al.	2003	Tarwe	Hoogspanningslijn	380	2,3	3,7	50	8	Bioelectromagnetics
Soja et al.	2003	Tarwe	Hoogspanningslijn	380	1	2,6	50	14	Bioelectromagnetics
Soja et al.	2003	Tarwe	Hoogspanningslijn	380	0,2	0,8	50	40	Bioelectromagnetics
Soja et al.	2003	Maïs	Hoogspanningslijn	380	4	4,5	50	2	Bioelectromagnetics
Soja et al.	2003	Maïs	Hoogspanningslijn	380	2,3	3,7	50	8	Bioelectromagnetics
Soja et al.	2003	Maïs	Hoogspanningslijn	380	1	2,6	50	14	Bioelectromagnetics
Soja et al.	2003	Maïs	Hoogspanningslijn	380	0,2	0,8	50	40	Bioelectromagnetics
Muraji et al.	1998	Maïs	Artificiële bestraling LABO			5000	5		Bioelectrochemistry and Bioenergetics
Muraji et al.	1998	Maïs	Artificiële bestraling LABO			5000	10		Bioelectrochemistry and Bioenergetics
Muraji et al.	1998	Maïs	Artificiële bestraling LABO			5000	20		Bioelectrochemistry and Bioenergetics
Muraji et al.	1998	Maïs	Artificiële bestraling LABO			5000	40		Bioelectrochemistry and Bioenergetics
De Souza et al.	2008	Sla	Artificiële bestraling LABO			140000	60		Electromagnetic Biology and Medicine
De Souza et al.	2008	Sla	Artificiële bestraling LABO			140000	60		Electromagnetic Biology and Medicine
Huang and Wang	2008	Mungboon	Artificiële bestraling LABO			6,38	10		Bioelectromagnetics
Huang and Wang	2008	Mungboon	Artificiële bestraling LABO			6,38	10		Bioelectromagnetics
Huang and Wang	2008	Mungboon	Artificiële bestraling LABO			13,1	20		Bioelectromagnetics
Huang and Wang	2008	Mungboon	Artificiële bestraling LABO			13,1	20		Bioelectromagnetics
Huang and Wang	2008	Mungboon	Artificiële bestraling LABO			16,55	30		Bioelectromagnetics
Huang and Wang	2008	Mungboon	Artificiële bestraling LABO			16,55	30		Bioelectromagnetics
Huang and Wang	2008	Mungboon	Artificiële bestraling LABO			18,7	40		Bioelectromagnetics
Huang and Wang	2008	Mungboon	Artificiële bestraling LABO			18,7	40		Bioelectromagnetics
Huang and Wang	2008	Mungboon	Artificiële bestraling LABO			19,33	50		Bioelectromagnetics
Huang and Wang	2008	Mungboon	Artificiële bestraling LABO			19,33	50		Bioelectromagnetics
Huang and Wang	2008	Mungboon	Artificiële bestraling LABO			16,2	60		Bioelectromagnetics
Huang and Wang	2008	Mungboon	Artificiële bestraling LABO			16,2	60		Bioelectromagnetics
Novitskii et al.	2014	Radijs	Artificiële bestraling LABO			500	50		Bioelectromagnetics



Studie	Jaar	Plantensoort	Type bestraling	Spanning (kV)	EF (kV/m)	MF (μ T)	Freq (Hz)	Afstand tot de lijn	Journal
Shine	2011	Soja	Artificiële bestraling LABO			50	50		Bioelectromagnetics
Shine	2011	Soja	Artificiële bestraling LABO			100000	50		Bioelectromagnetics
Shine	2011	Soja	Artificiële bestraling LABO			150000	50		Bioelectromagnetics
Shine	2011	Soja	Artificiële bestraling LABO			200000	50		Bioelectromagnetics
Shine	2011	Soja	Artificiële bestraling LABO			250000	50		Bioelectromagnetics
Shine	2011	Soja	Artificiële bestraling LABO			300000	50		Bioelectromagnetics
Yano	2004	Radijs	Artificiële bestraling LABO			50	60		Bioelectromagnetics
Demir	2010	Japane liguster	Hoogspanningslijn				50		AFRICAN JOURNAL OF BIOTECHNOLOGY
Demir	2010	Leylandcipres	Hoogspanningslijn				50		AFRICAN JOURNAL OF BIOTECHNOLOGY
Davis	1996	Mosterd	Artificiële bestraling LABO			57,5	50		Bioelectromagnetics
Davis	1996	Gerst	Artificiële bestraling LABO			57,5	50		Bioelectromagnetics
Davis	1996	Radijs	Artificiële bestraling LABO			57,5	50		Bioelectromagnetics
Celestino	1998	Kurk	Artificiële bestraling LABO			15	50		Plant Cell, Tissue and Organ Culture volume
Pietruszewski	2000	Suikerbiet	Hoogspanningslijn			75000	50		International Agrophysics
Pietruszewski	2000	Suikerbiet	Hoogspanningslijn			75000	50		International Agrophysics
Podleoeny	2005	Erwt	Artificiële bestraling VELD			30000	50		Int. Agrophysics
Podleoeny	2005	Erwt	Artificiële bestraling VELD			85000	50		Int. Agrophysics
Podleoeny	2004	Veldboon	Artificiële bestraling VELD			30000	50		Int. Agrophysics
Podleoeny	2004	Veldboon	Artificiële bestraling VELD			85000	50		Int. Agrophysics
Podleoeny	2005	Erwt	Artificiële bestraling VELD			30000	50		Int. Agrophysics
Podleoeny	2005	Erwt	Artificiële bestraling VELD			85000	50		Int. Agrophysics
Podleoeny	2004	Veldboon	Artificiële bestraling VELD			30000	50		Int. Agrophysics
Podleoeny	2004	Veldboon	Artificiële bestraling VELD			85000	50		Int. Agrophysics
Aguiar	2009	Maïs	Artificiële bestraling LABO			20000	60		Acta Agrophysica
Aguiar	2009	Maïs	Artificiële bestraling LABO			60000	60		Acta Agrophysica
Aguiar	2009	Maïs	Artificiële bestraling LABO			1000000	60		Acta Agrophysica
Balonchi	2009	Warkruid	Artificiële bestraling LABO			88	60		Int. Agrophysics
Balonchi	2009	Warkruid	Artificiële bestraling LABO			128	60		Int. Agrophysics
Balonchi	2009	Vlinderbloemigen	Artificiële bestraling LABO			88	60		Int. Agrophysics
Balonchi	2009	Vlinderbloemigen	Artificiële bestraling LABO			128	60		Int. Agrophysics
Balonchi	2009	Vlinderbloemigen	Artificiële bestraling LABO			88	60		Int. Agrophysics
Balonchi	2009	Vlinderbloemigen	Artificiële bestraling LABO			128	60		Int. Agrophysics
Sujak	2009	Amarant	Artificiële bestraling VELD			30000	50		Int. Agrophysics
Sujak	2009	Amarant	Artificiële bestraling VELD			30000	50		Int. Agrophysics
Sujak	2010	Amarant	Artificiële bestraling VELD			30000	50		Int. Agrophysics
Muszyński	2009	Tarwe	Artificiële bestraling LABO			15000	50		Polish Journal of Environmental Studies
Dziwulska-Hunek	2009	Amarant	Artificiële bestraling LABO			30000	50		Int. Agrophysics



Studie	Jaar	Plantensoort	Type bestraling	Spanning (kV)	EF (kV/m)	MF (μ T)	Freq (Hz)	Afstand tot de lijn	Journal
Zepeda-Bautista	2010	Maïs	Artificiële bestraling LABO			4800000	60		Int. Agrophysics
Marks	2010	Aardappel	Artificiële bestraling VELD			20000	50		Int. Agrophysics
Marks	2010	Aardappel	Artificiële bestraling VELD			40000	50		Int. Agrophysics
Marks	2010	Aardappel	Artificiële bestraling VELD			80000	50		Int. Agrophysics
Marks	2010	Aardappel	Artificiële bestraling VELD			20000	50		Int. Agrophysics
Marks	2010	Aardappel	Artificiële bestraling VELD			40000	50		Int. Agrophysics
Marks	2010	Aardappel	Artificiële bestraling VELD			80000	50		Int. Agrophysics
Rochalska	2011	Tarwe	Artificiële bestraling LABO			5000	16		Int. Agrophysics
Matwijczuk	2012	Zonnebloem	Artificiële bestraling LABO			30000	50		Int. Agrophysics
Podleśny	2021	Erwt	Artificiële bestraling LABO			85000	50		Agronomy
Podleśny	2021	Erwt	Artificiële bestraling LABO			30000	50		Agronomy
Iqbal	2012	Erwt	Artificiële bestraling LABO			60000	50		Int. Agrophysics
Iqbal	2012	Erwt	Artificiële bestraling LABO			120000	50		Int. Agrophysics
Iqbal	2012	Erwt	Artificiële bestraling LABO			180000	50		Int. Agrophysics
Iqbal	2012	Erwt	Artificiële bestraling LABO			60000	50		Int. Agrophysics
Iqbal	2012	Erwt	Artificiële bestraling LABO			120000	50		Int. Agrophysics
Iqbal	2012	Erwt	Artificiële bestraling LABO			180000	50		Int. Agrophysics
Iqbal	2012	Erwt	Artificiële bestraling LABO			60000	50		Int. Agrophysics
Iqbal	2012	Erwt	Artificiële bestraling LABO			120000	50		Int. Agrophysics
Iqbal	2012	Erwt	Artificiële bestraling LABO			180000	50		Int. Agrophysics
VASILYEVA	2020	Gras	Artificiële bestraling LABO			6	40		J. of water and land development
VASILYEVA	2020	Ui	Artificiële bestraling LABO			6	40		J. of water and land development
Bautista	2014	Maïs	Artificiële bestraling VELD			3600	60		African J. Biotechnol.,
Picazo	1999	Linzen	Artificiële bestraling LABO			15	50		Electro and magnetobiology
Picazo	1999	Distel	Artificiële bestraling LABO			15	50		Electro and magnetobiology
Li	2019	Soja	Hoogspanningslijn		2		50		Journal of Environmental Radioactivity
Li	2019	Soja	Hoogspanningslijn		10		50		Journal of Environmental Radioactivity
Li	2019	Soja	Hoogspanningslijn		2		50		Journal of Environmental Radioactivity
Li	2019	Soja	Hoogspanningslijn		10		50		Journal of Environmental Radioactivity
Li	2019	Soja	Hoogspanningslijn		2		50		Journal of Environmental Radioactivity
Li	2019	Soja	Hoogspanningslijn		10		50		Journal of Environmental Radioactivity
El-Khawas	2012	Maïs	Hoogspanningslijn				50	250	Egypt. J. Exp. Biol.
El-Khawas	2012	Maïs	Hoogspanningslijn				50	250	Egypt. J. Exp. Biol.
El-Khawas	2012	Maïs	Hoogspanningslijn				50	250	Egypt. J. Exp. Biol.
El-Khawas	2012	Maïs	Hoogspanningslijn				50	250	Egypt. J. Exp. Biol.
El-Khawas	2012	Maïs	Hoogspanningslijn				50	0	Egypt. J. Exp. Biol.
El-Khawas	2012	Maïs	Hoogspanningslijn				50	0	Egypt. J. Exp. Biol.
El-Khawas	2012	Maïs	Hoogspanningslijn				50	0	Egypt. J. Exp. Biol.
El-Khawas	2012	Maïs	Hoogspanningslijn				50	0	Egypt. J. Exp. Biol.
Parsh	1986	katoen	Hoogspanningslijn	230			50	0	
Parsh	1986	katoen	Hoogspanningslijn	500			50	0	

Studie	Jaar	Soort	Type bestraling	Spanning (kV)	EF (kV/m)	MF (μ T)	Freq (Hz)	duur (dagen)	Journal
Migdal et al.	2022	Bij	Artificiële bestraling			1000	50	0,01	MDPI Animals
Migdal et al.	2022	Bij	Artificiële bestraling			1000	50	0,04	MDPI Animals
Migdal et al.	2022	Bij	Artificiële bestraling			1000	50	0,125	MDPI Animals
Migdal et al.	2022	Bij	Artificiële bestraling			1700	50	0,01	MDPI Animals
Migdal et al.	2022	Bij	Artificiële bestraling			1700	50	0,04	MDPI Animals
Migdal et al.	2022	Bij	Artificiële bestraling			1700	50	0,125	MDPI Animals
Shepherd et al.	2018	Bij	Artificiële bestraling	400		20	50	0,000694444	Scientific Reports
Shepherd et al.	2018	Bij	Artificiële bestraling	400		100	50	0,000694444	Scientific Reports
Shepherd et al.	2018	Bij	Artificiële bestraling	400		1000	50	0,000694444	Scientific Reports
Shepherd et al.	2018	Bij	Artificiële bestraling	400		7000	50	0,000694444	Scientific Reports
Shepherd et al.	2019	Bij	Artificiële bestraling			100	50	0,71	Plos One
Shepherd et al.	2019	Bij	Artificiële bestraling			1000	50	0,71	Plos One
Shepherd et al.	2021	Sprinkhaan	Artificiële bestraling			1000	50	0,000173611	Bioelectromagnetics
Shepherd et al.	2021	Sprinkhaan	Artificiële bestraling			1000	50	0,000173611	BioElectromagnetics
Wyszkowska et al.	2016	Sprinkhaan	Artificiële bestraling			4000	50	1	Scientific Reports
Wyszkowska et al.	2016	Sprinkhaan	Artificiële bestraling			7000	50	1	Scientific Reports
Maliszweka et al.	2018	Kakkerlak	Artificiële bestraling			7000	50	1	Journal of Comparative Physiology A
Maliszweka et al.	2018	Kakkerlak	Artificiële bestraling			7000	50	3	Journal of Comparative Physiology A
Maliszweka et al.	2018	Kakkerlak	Artificiële bestraling			7000	50	7	Journal of Comparative Physiology A
Li et al.	2013	Fruitvlieg	Artificiële bestraling			3000	50	3	Mutation Research
Li et al.	2013	Fruitvlieg	Artificiële bestraling			3000	50	13	Mutation Research
Li et al.	2022	Bij	Artificiële bestraling			3000	50	van dag 2 tot einde ontwikkeling	MDPI Animals
Dimitrijevic et al.	2013	Fruitvlieg	Artificiële bestraling			500	50	2	Drosophila Information Service
Zhang et al.	2016	Fruitvlieg	Artificiële bestraling			3000	50		Plos One
Graham et al.	2000	Fruitvlieg	Artificiële bestraling			1,5	60		Bioelectromagnetics
Graham et al.	2000	Fruitvlieg	Artificiële bestraling			80	60		Bioelectromagnetics
Acosta-Avalos et al.	2015	Vuurmier	Artificiële bestraling			21/40/57	60		Journal of Insect Behaviour
Okı et al.	2021	Vlinder	Hoogspanningslijn						Journal of Insect Conservation
Plewa et al.	2020		Hoogspanningslijn						Zoological Studies
Berg et al.	2013	Vlinder	Hoogspanningslijn						Insect Conservation and Diversity
Du Clos et al.	2022	Bij	Hoogspanningslijn						Landscape Ecology
Wagner et al.	2019	Bij	Hoogspanningslijn						Biological Conservation
Chicas-Mosier	2021	Bij	Artificiële bestraling			90-180			Bioelectromagnetics

